

## СПИСОК ЛИТЕРАТУРЫ

- [1] Морозов В. Б., Никитин С. Ю., Платонов Л. П., Тункин В. Г. // Вестн. Моск. ун-та. Физ. Астрон. 1989. 30, № 3. С. 32. [2] Ахманов С. А., Коротеев Н. И. Методы нелинейной оптики в спектроскопии рассеяния света. М., 1981. [3] Vriens L. // Opt. Comm. 1974. 11, N 4. P. 396.

Поступила в редакцию  
23.01.89

ВЕСТН. МОСК. УН-ТА. СЕР. 3, ФИЗИКА. АСТРОНОМИЯ. 1990. Т. 31, № 1

## АСТРОНОМИЯ

УДК 521.13

### РЕЗОНАНСНЫЕ ДВИЖЕНИЯ ЧАСТИЦ КОЛЬЦА СЖАТОЙ ПЛАНЕТЫ

И. А. Герасимов, Б. Р. Мушайлов

(ГАИШ)

В рамках плоской круговой ограниченной задачи трех тел, когда центральное тело является симметричным эллипсоидом вращения, получены решения, описывающие эволюцию орбит частиц кольца в случае резонансов первого порядка.

1. **Постановка задачи.** Рассмотрим плоский вариант ограниченной задачи трех тел в следующей постановке. Центральное тело  $P_0$  представляет собой эллипсоид, симметричный относительно оси вращения, потенциал которого в декартовой системе координат с началом, совмещенным с его центром масс, дается выражением

$$W(r) = 1/r + \kappa/r^3, \quad (1)$$

где  $\kappa = (1/2)J_2R_0^2$ ,  $J_2$  — коэффициент 2-й зональной гармоники,  $R_0$  — экваториальный радиус тела  $P_0$ ,  $r$  — радиус-вектор пассивно гравитирующей точки  $P$ , движущейся в экваториальной плоскости тела  $P_0$ . Система единиц выбрана так, чтобы постоянная Гаусса и масса эллипсоида были равны единице.

Возмущающее тело  $P'$  является материальной точкой с массой  $\mu \ll \kappa$ . Будем полагать, что движение тела  $P'$  происходит по окружности единичного радиуса  $a' > r$ , расположенной в экваториальной плоскости тела  $P_0$ , совмещенной с плоскостью  $XU$ . Тогда среднее движение тела  $P'$  равно  $n' = C/a'^2$ , где  $C$  и  $a'$  связаны уравнением [1]

$$C^2/a'^3 + dW/da' = 0, \quad (2)$$

так что  $n' = \sqrt{1 + 3\kappa}$ .

Далее будем считать, что среднее движение  $n$  материальной точки  $P$  в начальный момент времени удовлетворяет следующему условию:

$$|kn - (k+1)n'| \leq O(\sqrt{\mu}). \quad (3)$$

где  $k$  — целое число.

Заметим, что в случае точной соизмеримости первого порядка  $n/n' = (k+1)/k$  имеем  $n = [(k+1)/k] \sqrt{1 + 3\kappa}$ , и для круговой орбиты

точки  $P$  (без учета возмущения со стороны тела  $P'$ )  $n=C/a^2$ , т. е. для большой полуоси  $a$  орбиты точки  $P$  имеем уравнение  $a^2 - a^5 [(k+1)/k]^2 \times \times (1+3\kappa) + 3\kappa = 0$ .

2. Уравнения движения. В системе координат, вращающейся с угловой скоростью  $n'$ , уравнения движения точки  $P$  запишутся в виде

$$\frac{dx_m}{dt} = \frac{\partial F}{\partial y_m}, \quad \frac{dy_m}{dt} = -\frac{\partial F}{\partial x_m}, \quad m = \overline{1, 3}, \quad (4)$$

где

$$F = F_0 + \mu F_1 + \kappa R_1, \quad F_0 = \frac{1}{2x_1^2} - n'x_3, \\ R_1 = \sum A_{m_3}(x_1, x_2, y_2) \cos(m_3 y_1 + h_2), \\ F_1 = \sum N_{m_1, m_2}(x_1) x_2^{m_1} y_2^{m_2} \cos(m_1 y_1 + m_2 y_3 + h_1). \quad (5)$$

Здесь  $v_1, v_2, m_1, m_2, m_3$  — целые числа либо нули, причем разность  $\sum v_j - |m_1 + m_2|$  — четное число либо нуль;  $h_1 = \pi/2$ , если  $v_1 + v_2$  — четное число, в противном случае  $h_1 = 0$ ;  $h_2$  — либо  $\pi/2$ , либо нуль. Канонические переменные Пуанкаре

$$x_1 = \sqrt{a}, \quad y_1 = M + \omega, \\ x_2 = \sqrt{2a^{1/2}(1 - \sqrt{1 - e^2})} \cos \omega, \quad y_2 = -\sqrt{2a^{1/2}(1 - \sqrt{1 - e^2})} \sin \omega \quad (6)$$

здесь дополнены (для устранения явной зависимости от времени гамильтониана исследуемой системы) сопряженными переменными  $x_3$  и  $y_3 = n't + \text{const}$ .

Если ввести обобщенную аномалию Делоне  $s = ky_1 - (k+1)y_3$  и воспользоваться схемой Делоне—Хилла [2], т. е. перейти от  $F$  к  $F^* = \frac{1}{2\pi} \int_0^{2\pi} F dy_1$ , то придем к уравнениям с гамильтонианом  $F^* = F_0 - \mu F_1^* + \kappa R_1^*$ , в котором  $j$  — целое число либо нуль,

$$F_1^* = \sum N_{jk, -(k+1)} x_2^{j_1} y_2^{j_2} \cos(js + h_1), \quad R_1^* = A_0(x_1, x_2, y_2). \quad (7)$$

В канонических переменных

$$U = x_1 + \frac{k}{2}(x_2^2 + y_2^2), \quad \lambda = y_1 - y_3, \\ x = \sqrt{x_2^2 + y_2^2} \cos \times, \quad y = \sqrt{x_2^2 + y_2^2} \sin \times \\ \times \left( -ky_1 + \arctg \frac{y_2}{x_2} + (k+1)y_3 \right), \quad \times \left( -ky_1 + \arctg \frac{y_2}{x_2} + (k+1)y_3 \right), \quad (8)$$

$$H = x_1 + x_3 - \frac{1}{2}(x_2^2 + y_2^2), \quad h = y_3.$$

искомая система примет вид [3]

$$\frac{dU}{dt} = \frac{\partial F^*}{\partial \lambda}, \quad \frac{dx}{dt} = \frac{\partial F^*}{\partial y}, \quad \frac{dH}{dt} = \frac{\partial F^*}{\partial h}, \\ \frac{d\lambda}{dt} = -\frac{\partial F^*}{\partial U}, \quad \frac{dy}{dt} = -\frac{\partial F^*}{\partial x}, \quad \frac{dh}{dt} = -\frac{\partial F^*}{\partial H}, \quad (9)$$

где

$$F_0 = \frac{1}{2 \left( U - \frac{k}{2} T \right)^2} + n' \left( U - \frac{k+1}{2} T - H \right), \quad T = x^2 + y^2. \quad (10)$$

Согласно (7),  $F_1^* = F_1^*(U, x, y)$ ,  $R_1^* = R_1^*(U, x, y)$ , поэтому из (9) имеем

$$F^* = \text{const}, \quad U = \text{const}, \quad H = \text{const}. \quad (11)$$

Так как  $\partial F^*/\partial H = -n'$ , то система (9) представима в виде

$$\begin{aligned} \frac{dx}{dt} &= \frac{\partial \tilde{F}^*}{\partial y}, \quad U = \sqrt{\gamma}, \quad H = \text{const}, \quad \tilde{F}^* = \tilde{c} = \text{const}, \\ \frac{d\lambda}{dt} &= -\frac{\partial \tilde{F}^*}{\partial U}, \quad \frac{dy}{dt} = -\frac{\partial \tilde{F}^*}{\partial x}, \quad h = n't + \text{const}. \end{aligned} \quad (12)$$

Здесь

$$\tilde{F}^* = F_0^* + \mu F_1^* + \kappa R_1^*, \quad F_0^* = \frac{1}{2 \left( U - \frac{k}{2} T \right)^2} + n' \left( U - \frac{k+1}{2} T \right). \quad (13)$$

**3. Упрощенные уравнения задачи.** Ниже в разложении гамильтониана  $F^*$  ограничимся наиболее существенными слагаемыми. Так, в выражении для  $F_0^*$  пренебрежем членами, начиная с шестого порядка относительно  $x, y$ ; тогда

$$F_0^* = B_0 + B_1(x^2 + y^2) + B_2(x^2 + y^2)^2,$$

где

$$B_0 = \frac{1}{2\gamma} + n'\gamma^{1/2}, \quad B_1 = \frac{1}{2}(k\gamma^{-3/2} - (k+1)n'), \quad B_2 = \frac{3}{8}k^2\gamma^{-2}. \quad (14)$$

В  $F_1^*$  и  $R_1^*$  пренебрежем величинами 4-го и более высоких порядков относительно  $x, y$ :

$$F_1^* = A_0 + A_1(x^2 + y^2) + A_2x, \quad R_1^* = G_0 + G_1(x^2 + y^2). \quad (15)$$

Здесь

$$\begin{aligned} A_0 &= \frac{1}{2} L_{1/2}^{(0)}(\gamma), \quad A_1 = \frac{1}{8} \gamma^{-1/2} \left( \gamma^2 \frac{d^2}{d\gamma^2} + 2\gamma \frac{d}{d\gamma} \right) L_{1/2}^{(0)}(\gamma) - \\ & - \frac{k\sqrt{\gamma}}{2} \frac{d}{d\gamma} L_{1/2}^{(0)}(\gamma), \quad G_0 = \gamma^{-3}, \\ A_2 &= -\frac{1}{2} \gamma^{-1/4} \left( \gamma \frac{d}{d\gamma} + 2(k+1) \right) L_{1/2}^{(1+k)}(\gamma), \quad G_1 = \frac{3}{2} \gamma^{-7/2} (1+2k), \end{aligned} \quad (16)$$

$L_{1/2}^{(m)}(\gamma)$  — коэффициенты Лапласа,  $m$  — целое число.

Тогда интегрирование системы (12) сводится к решению уравнений для  $x$  и  $y$

$$dx/dt = d\tilde{F}/dy, \quad dy/dt = -d\tilde{F}/dx, \quad (17)$$

в которых

$$\bar{F} = C_1(x^2 + y^2)^2 + C_2(x^2 + y^2) + C_3x, \quad (18)$$

и коэффициенты  $C_1, C_2, C_3$  — функции  $\gamma = a(1 + k - k\sqrt{1 - e^2})^2$ :

$$C_1 = B_2, \quad C_2 = B_1 + \mu A_1 + \kappa G_1, \quad C_3 = \mu A_2. \quad (19)$$

Для переменной  $\lambda$  можно получить уравнение

$$d\lambda/dt = \Phi_0 + \Phi_1(x^2 + y^2) + \Phi_2x, \quad (20)$$

где

$$\Phi_0 = -2\sqrt{\gamma}[B'_0 + B'_2B_2^{-1}(\bar{c} - B_0) + \mu(A'_0 - B'_2B_2^{-1}A_0) - \kappa(G'_0 - B'_2B_2^{-1}G_0)],$$

$$\Phi_1 = -2\sqrt{\gamma}[B'_1 - B_1B_2^{-1}B'_2 + \mu(A'_1 - A_1B_2B_2^{-1}) + \kappa(G'_1 - G_1B_2B_2^{-1})],$$

$$\Phi_2 = -2\sqrt{\gamma}\mu(A'_2 - A_2B_2B_2^{-1}),$$

штрих означает дифференцирование по  $\gamma$ . Интегрируя уравнение (20), находим

$$\lambda = \lambda_0 + \Phi_0 t + \Phi_1 Q_1 + \Phi_2 Q_2. \quad (21)$$

Здесь  $\lambda_0$  — постоянная величина,  $Q_1 = \int (x^2 + y^2) dt$ ,  $Q_2 = \int x dt$ .

Таким образом, решение поставленной выше задачи свелось к интегрированию системы (17) для переменных  $x, y$  и вычислению затем двух квадратур  $Q_1$  и  $Q_2$ .

**4. Особые решения.** Для отыскания особых решений системы (17) имеем уравнения

$$4C_1y(x^2 + y^2) + 2C_2y = 0, \quad (22)$$

$$4C_1x(x^2 + y^2) + 2C_2x + C_3 = 0.$$

Так как  $C_3 \neq 0$ , то система (22) удовлетворяется лишь при  $y = 0$ , тогда второе уравнение (22) принимает вид

$$4C_1x^3 + 2C_2x + C_3 = 0. \quad (23)$$

Поскольку, как следует из (19) и (16),  $C_3 > 0$ , то, согласно теореме Декарта, один из действительных корней (23)  $x_1 > 0$ , а так как в (23) отсутствует член с  $x^2$ , то  $x_2 + x_3 = -x_1 < 0$ .

Если дискриминант уравнения (23)  $\Delta = -8C_2^3 - 27C_1C_3^2$  равен нулю, то все корни (23) — действительные величины, причем  $x_2 = x_3$  [4]. В случае  $\Delta > 0$  все три корня, как можно показать, также действительны, и из теоремы Виета следует, что  $x_3 < x_2 < 0$ . И наконец, при  $\Delta < 0$   $x_2$  и  $x_3$  будут мнимыми сопряженными корнями.

Таким образом, уравнение  $\Delta = f(\kappa, \mu, \gamma) = -8C_2^3 - 27C_1C_3^2 = 0$  определяет границу между областями существования различного числа стационарных точек рассматриваемой системы. При фиксированном значении  $\mu$  функция  $\Delta(\gamma)$  обращается (при некотором  $\gamma$ ) в нуль для любых  $\kappa$  из интервала  $\kappa \leq \kappa_{\max}$ , удовлетворяющих резонансному неравенству (3) (здесь и в дальнейшем считается, что  $|e| < 0,3$ ).

Зависимость величины  $\kappa_{\max}$  (соответствующей  $\gamma_{\max}$ ) от  $\mu$  (в логарифмическом масштабе), удовлетворяющей уравнению  $\Delta = 0$  и резонансному неравенству (3), для различных значений  $k$  приведена на рис. 1. Так, для резонанса 2:1 ( $k=1$ ) граничная величина  $\gamma = \bar{\gamma} = 0,700$ , причем область «над кривой» соответствует  $\Delta < 0$ .

Уравнение  $\Delta=0$  в переменных  $\lg \kappa$ ,  $\gamma$  представлено на рис. 2 семействами кривых, соответствующих различным величинам  $\mu$  и  $k$ . В области, расположенной левее приведенных кривых, существует одно стационарное решение, т. е. при фиксированных  $\mu$  и  $\kappa$  эти кривые для каждого  $k$  определяют значение  $\gamma$  такое, что при  $\gamma < \gamma$   $\Delta < 0$ .

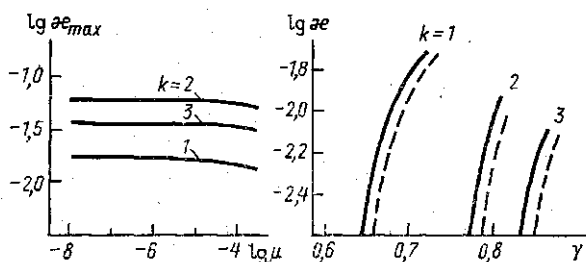


Рис. 1

Рис. 1. Зависимость  $\lg \kappa_{\max}$  от  $\lg \mu$  для различных  $k$

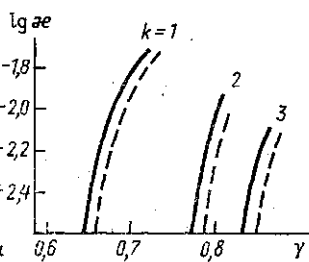


Рис. 2

Рис. 2. Уравнение  $\Delta=0$  в переменных  $\lg \kappa$  и  $\gamma$ . Сплошные линии отвечают  $\mu=10^{-7}$ , штриховые —  $\mu=10^{-3}$

Из уравнения (23), учитывая (14)–(16), (19), а также (6) и (8), можно определить эксцентриситеты, соответствующие стационарным точкам  $(x_{13}, 0)$ , в функции параметра  $\gamma$  для различных значений  $\kappa$ ,  $\mu$  и  $k$ . На рис. 3 иллюстрируются результаты соответствующих вычислений. В полном согласии с ранее сказанным бифуркация наступает при некотором  $\gamma$ , зависящем от  $\kappa$ ,  $\mu$ ,  $k$  (см. рис. 1 и 2). При  $\gamma < \gamma$  имеется одно стационарное решение ( $\lg e$  растет с ростом  $\gamma$ ). В случае  $\gamma > \gamma$  появляются еще два решения, одно из которых также возрастает с увеличением  $\gamma$ , а другое убывает. С уменьшением  $\mu$  существенно возрастает амплитуда переходной зоны бифуркации.

Далее функцию Гамильтона (18) в окрестности стационарных точек системы (17)  $((x_j, y_j=0), j=1, 3)$  представим в виде ряда Тейлора. Тогда с точностью до постоянного слагаемого имеем

$$\tilde{F} = L(x - x_j)^2 + Gy^2 + o[(x - x_j)y^2], \quad (24)$$

где

$$L = 6C_1x_j^2 + C_2, \quad G = 2C_1x_j^2 + C_3.$$

Выберем в качестве функции Ляпунова  $V$  функцию  $V=F$ . Ее полная производная по  $t$ , составленная с учетом (17), равна нулю:

$$\frac{d\tilde{F}}{dt} = \frac{\partial \tilde{F}}{\partial x} \frac{dx}{dt} + \frac{\partial \tilde{F}}{\partial y} \frac{dy}{dt} = \frac{\partial \tilde{F}}{\partial x} \frac{\partial \tilde{F}}{\partial y} - \frac{\partial \tilde{F}_1}{\partial y} \frac{\partial \tilde{F}}{\partial x} = 0.$$

В случае  $\Delta > 0$  ( $C_2 < -(3/2)\sqrt[3]{C_1C_3^2}$ ; все корни — действительные величины) нетрудно установить, что в окрестности точек  $(x_1, 0)$ ,  $(x_2, 0)$  функция  $V$  является знакоопределенной (соответственно положительной и отрицательной) и, согласно первой теореме прямого ме-

тогда Ляпунова, стационарные точки  $(x_1, 0)$  и  $(x_2, 0)$  являются устойчивыми.

Для окрестности точки  $(x_3, 0)$   $L$  и  $G$  имеют разные знаки. Составим в этом случае систему уравнений линейного приближения:

$$\frac{d(x-x_3)}{dt} = 2Gy, \quad \frac{dy}{dt} = -2L(x-x_3).$$

Характеристическое уравнение этой системы:  $\lambda^2 + 4GL = 0$ , следовательно,  $\lambda^2 = -4GL$ . Так как  $G, L$  в окрестности  $x = x_3$  имеют разные знаки, то  $\lambda^2 > 0$ , поэтому корни  $\lambda_{1,2}$  действительны и один из них положителен. Согласно теореме Ляпунова (для уравнений системы линейного приближения), точка  $(x_3, 0)$  соответствует неустойчивому движению.

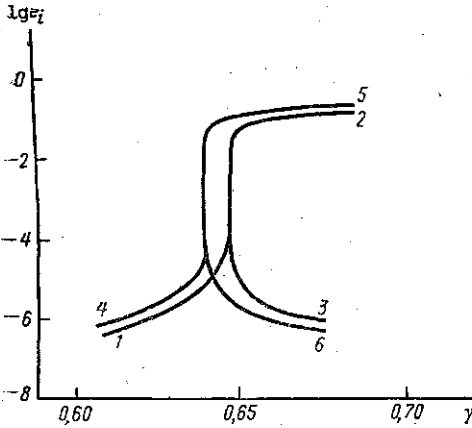


Рис. 3

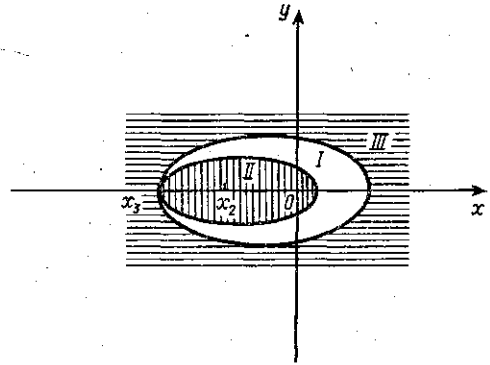


Рис. 4

Рис. 3. Зависимость стационарных эксцентриситетов  $(\lg e_i)$ ,  $i=1, 2, 3$ , от  $\gamma$  при различных значениях  $k, \mu$  и  $\kappa$ ;  $e_1$  и  $e_3$  на всех кривых совпадают (для  $\gamma > \gamma$ ). Кривые 1, 2, 3 соответствуют  $\lg e_1$  ( $\gamma < \gamma$ ),  $\lg e_3$  и  $\lg e_2$  при  $k=1, \mu=10^{-7}, \kappa=10^{-3}$ ; кривые 4, 5, 6 — при  $k=1, \mu=10^{-7}, \kappa=10^{-5}$

Рис. 4. Качественная картина локализации фазовых траекторий. Области траекторий типа II и III заштрихованы соответственно вертикально и горизонтально

В случае  $\Delta < 0$  ( $C_2 > -(3/2)\sqrt[3]{C_1 C_3^2}$ ) аналогично легко установить, что  $(x_1, 0)$  является устойчивой стационарной точкой, а  $(x_2, 0)$  и  $(x_3, 0)$  соответствуют нереальным (фиктивным) движениям.

При  $\Delta = 0$  ( $C_2 = -(3/2)\sqrt[3]{C_1 C_3^2}$ ) все корни  $x_i$  — действительные величины и  $x_2 = x_3 = -x_1/2 = -(1/2)\sqrt[3]{|C_3|/C_1}$ . В этом случае  $L|_{x_{2,3}} = 0$ ,  $G = (2/3)C_2 < 0$ . Таким образом,  $(x_1, 0)$  соответствует устойчивой точке, а  $(x_{2,3}, 0)$  — неустойчивой, поскольку в окрестности  $x_{2,3}$   $\bar{F}'_x = \bar{F}'_x|_{y=0} + x \cdot 4C_1 y^2 < 0$ , следовательно,  $dy/dt > 0$  и в окрестности  $\varepsilon > 0$   $y|_{|x-x_{2,3}| < \varepsilon}$  растет со временем.

5. Обращение квадратур и классификация фазовых траекторий. Введем комплексно сопряженные переменные

$$\tilde{h} = x + iy, \quad \tilde{k} = x - iy. \quad (25)$$

Тогда [3]

$$\tilde{k} = \frac{1}{a_1} \left[ \wp(t - \omega_1) - \frac{a_2}{2} \right], \quad \tilde{h} = \frac{1}{a_1} \left[ \wp(t + \omega_1) - \frac{a_2}{2} \right], \quad (26)$$

$$\wp(2\omega_1) = \frac{a_2}{2}, \quad \wp'(2\omega_1) = ia_1 \sqrt{|a_4|},$$

где инварианты  $\wp$ -функции Вейерштрасса равны

$$g_2 = 3a_2^2 - 4a_1a_3, \quad g_3 = 2a_1a_2a_3 - a_1^2a_4 - a_3^3,$$

а коэффициенты  $a_{1-4}$  определяются выражениями

$$a_1 = 2C_1C_3, \quad a_2 = (2/3)(4uC_1 - C_2^2), \quad a_3 = -C_2C_3, \quad a_4 = -C_3^2,$$

причем постоянная  $u = B_0 - \tilde{c} + \mu A_0 + \kappa G_0$ . И следовательно, из (25) получаем окончательно

$$x = (1/2a_1) \{ \wp(t + \omega_1) + \wp(t - \omega_1) - a_2 \},$$

$$y = (-i/2a) \{ \wp(t + \omega_1) - \wp(t - \omega_1) \}. \quad (27)$$

Пределы изменения величины  $\omega_1 = \omega$  зависят от значения дискриминанта  $\Gamma$  уравнения  $4\wp^3 - g_2\wp - g_3 = 0$ . Этот дискриминант  $\Gamma = g_2^3 - 27g_3^2$  может быть представлен в виде

$$\Gamma = 16C_1^3C_3^4 \{ 256C_1^2u^3 - 128C_1C_2^2u^2 + 16C_2(C_2^2 + 9C_1C_3^2)u - C_3^2(4C_2^3 + 27C_1C_3^3) \}.$$

Число действительных корней ( $u_j$ ) уравнения  $\Gamma = 0$  зависит от знака дискриминанта уравнения (23), поскольку дискриминант уравнения  $\Gamma = 0$  равен  $[C_3^2/(64^2C_1^5)] \Delta^3$ . При значениях  $\gamma' < \bar{\gamma}$ , соответствующих  $\Delta < 0$ , существует единственный вещественный корень  $u_1$ , отвечающий решению  $x_1$ . В случае  $\gamma'' \geq \bar{\gamma}$  ( $\Delta \geq 0$ ) имеются три действительных корня  $u_j$ ,  $j=1, 3$  (при  $\Delta=0$ ,  $u_2=u_3$ ) соответственно числу решений  $x_j$  ( $u_2 < u_3 < u_1$ ). Проводя далее рассуждения, аналогичные [5], можно про-

Тип траектории	Значение $u$	Значение $\omega$	Значение $\gamma$
I	$u_3 < u < u_1$	$i\tilde{\omega}$	$\gamma > \bar{\gamma}$
II	$u_2 < u < u_3$	$i\tilde{\omega} + i\bar{\omega}$	$\gamma > \bar{\gamma}$
III	$-\infty < u < u_3$	$i\tilde{\omega}$	$\gamma > \bar{\gamma}$
IV	$-\infty < u < u_1$	$i\tilde{\omega}$	$\gamma < \bar{\gamma}$

$\wp'(\omega, -g_2, g_3) = 0$ ;  $\omega$  — минимальный аргумент уравнения;  $0 < \varepsilon \leq 1$ .

вести классификацию возможных типов движений (таблица) и получить качественную картину локализации фазовых траекторий (рис. 4).

На рис. 5 в качестве примера приведены расчетные фазовые траектории и сепаратриса для системы, состоящей из центрального тела — планеты Сатурн, возмущающего тела — Мимаса и частиц кольца Сатурна (случай соизмеримости 2:1). В качестве координат использованы переменные  $p = e \cos s$  и  $q = e \sin s$ , так что  $x = \gamma^{1/4} p$ ,  $y = -\gamma^{1/4} q$ .

6. **Определение  $\lambda$ .** После определения канонических элементов  $x$ ,  $y$  интегрирование исходной задачи, как показано в п. 3, связано с вычислением переменной  $\lambda = M + \omega - n'(t - t_0)$ . Согласно (21) определению подлежат две квадратуры:

$$Q_1 = \int (x^2 + y^2) dt, \quad Q_2 = \int x dt. \quad (28)$$

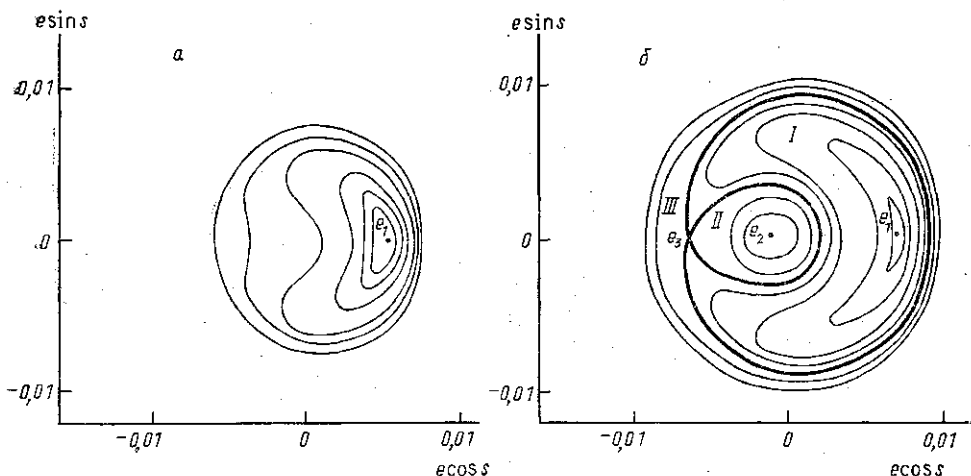


Рис. 5. Фазовые траектории для  $k=1$ ,  $\mu=0,66 \times 10^{-7}$ ,  $\kappa=0,882 \cdot 10^{-3}$  ( $\bar{\nu}=0,6393$ ):  $\nu = -0,6392$  (а) и  $0,6394$  (б)

Используя теорему Лиувилля, с учетом (25)–(27) нетрудно получить

$$Q_1 = Et + \frac{\sqrt{a_4}}{a_1} \ln \frac{\sigma(t - \omega_1)}{\sigma(t + \omega_1)}, \quad Q_2 = -\frac{1}{2a_1} (\zeta(t + \omega_1) + \zeta(t - \omega_1) + a_2 t),$$

где

$$(29)$$

$$E = (1/a_1^2) \{ [p(\omega_1) - p(2\omega_1)]^2 + 2p'(2\omega_1) \zeta(\omega_1) \},$$

$\sigma$  и  $\zeta$  — соответствующие функции Вейерштрасса.

Таким образом, и элемент  $\lambda$ , определяемый (21), с учетом (29) окончательно представлен в функции независимой переменной  $t$ .

#### СПИСОК ЛИТЕРАТУРЫ

- [1] Герасимов И. А. // Вестн. Моск. ун-та. Физ. Астрон. 1988. 29, № 4, С. 97.  
 [2] Моисеев Н. Д. // Тр. ГАИШ. 1945. 15. С. 75. [3] Герасимов И. А. // Астрон. журн. 1986. 63. С. 567. [4] Курош А. Г. // Курс высшей алгебры. М., 1975. [5] Герасимов И. А. // Астрон. журн. 1983. 60. С. 1026.

Поступила в редакцию  
18.01.89